

T- 506

ОБЪЕДИНЕНИЙ ИНСТИТУТ ЯДЕРНЫХ ИССЛЕДОВАНИЙ
ЛАБОРАТОРИЯ ВЫСОКИХ ЭНЕРГИЙ

1 - 8366

ТОДОРОВ
Петр Тодоров

СПЕКТР K^0 -МЕЗОНОВ ВЫСОКИХ ЭНЕРГИЙ
В ОПЫТАХ ПО РЕГЕНЕРАЦИИ КАОНОВ

Специальность 01-04-01 - экспериментальная физика

Автореферат диссертации на соискание ученой степени
кандидата физико-математических наук

(Диссертация написана на русском языке)

Дубна 1974

Работа выполнена в Лаборатории высоких энергий
Объединенного института ядерных исследований.

Научный руководитель:

кандидат физико-математических наук
старший научный сотрудник М.Ф.Лихачёв.

Официальные оппоненты:

доктор физико-математических наук
старший научный сотрудник Д.А.Будагов,
кандидат физико-математических наук
старший научный сотрудник В.Г.Гришин.

Ведущее научно-исследовательское учреждение:

Физический институт АН СССР им. П.Н.Лебедева
(Лаборатория фотомезонных процессов, Москва).

Автореферат разослан " " 1974 г.

Задача диссертации состоится " " 197 г.
на заседании Ученого совета Лаборатории высоких
энергий Объединенного института ядерных исследований,
г.Дубна, Московской области.

С диссертацией можно ознакомиться в библиотеке ЛВЭ.

Ученый секретарь Совета
кандидат физико-матема-
тических наук

М.Ф.Лихачев

1 - 8366

ТОДОРОВ
Петр Тодоров

СПЕКТР K^0 -МЕЗОНОВ ВЫСОКИХ ЭНЕРГИЙ
В ОПЫТАХ ПО РЕГЕНЕРАЦИИ КАОНОВ

Специальность 01-04-01 - экспериментальная физика

Автореферат диссертации на соискание ученой степени
кандидата физико-математических наук

(Диссертация написана на русском языке)

Объединенный институт
ядерных исследований
БИБЛИОТЕКА

В проведенном на серпуховском ускорителе эксперименте по трансмиссионной регенерации $K_L^0 - K_S^0$ - мезонов на протонах /I-4/ использовался пучок K_L^0 - мезонов, рожденных на внутренней мишени ускорителя. Знание импульсного спектра и монитора являлось важным условием для получения физических результатов при изучении этого процесса. Основной целью эксперимента являлось измерение и исследование энергетического поведения разности амплитуд упругого рассеяния вперед K^0 и \bar{K}^0 на протонах, конкретнее, модуля и фазы разности амплитуд рассеяния:

$$f^0(p) - \bar{f}^0(p) \equiv |f^0(p) - \bar{f}^0(p)| \exp\{i \arg(f^0(p) - \bar{f}^0(p))\}, \quad (I)$$

где $f^0(p)$ и $\bar{f}^0(p)$ - амплитуды упругого рассеяния вперед K^0 - и \bar{K}^0 - мезонов на ядрах мишени-регенератора при данном p - импульсе K^0 - мезонов.

Введем следующие обозначения:

$S(p)$ - импульсный спектр падающих K_L^0 - мезонов;

M - монитор (число прошедших сквозь мишень K_L^0 - мезонов);

$\mathcal{E}(pt)$ - эффективность установки к регистрации $K_L^0 \rightarrow \pi^+ \pi^-$ распадов;

σ_t - полное сечение рассеяния K^0 - и \bar{K}^0 - мезонов;

$K = \frac{p}{h}$ - волновое число K^0 - мезона;

L - длина регенератора;

$\Lambda_s = c \beta \gamma \epsilon_s$ - распадная длина K^0 - мезона;

N - плотность рассеивающих центров;

$\Delta m = \frac{(m_L - m_S)c^2}{h}$ - разность масс $K_L^0 - K_S^0$ - мезонов, выраженная в обратных единицах времени;

$\Gamma_{S(L)} = \frac{1}{\tau_{S(L)}}$ величины, обратные временам жизни K_L^0 (\bar{K}^0) - мезонов;

$\ell = \frac{\Gamma_{S+}}{L/\lambda_s}$ - парциальная ширина распада K_L^0 - мезона на $\pi^+\pi^-$;

L/λ_s - длина регенератора в единицах распадных длин
 K_L^0 - мезона;

$|\eta|_+$ и ϕ_+ - параметры нарушения СР - инвариантности в распадах $K_L^0 \rightarrow \pi^+\pi^-$.

Разность амплитуд упругого рассеяния вперед K^0 - и \bar{K}^0 -мезонов связана с величиной $\rho(p)$ - амплитудой трансмиссионной регенерации на выходе мишени - регенератора следующим образом:

$$\begin{aligned} \rho(p) &= |\rho(p)| \cdot \exp[i\phi_\rho(p)] = \\ &= \pi \cdot i \frac{2(f^*(p) - \bar{f}^*(p))}{K} \Lambda_s \cdot N \frac{1 - \exp[(i\Delta m \tau_s - \chi_1) \ell]}{\frac{1}{2} - i\Delta m \tau_s} \exp(-\beta_t N \ell / 2). \end{aligned} \quad (2)$$

$\rho(p)$ можно найти, исследуя изменения интенсивности $K^0 \rightarrow \pi^+\pi^-$ - распадов за мишенью-регенератором в зависимости от собственного времени жизни t K^0 -мезонов, которая описывается формулой /5-7/:

$$\begin{aligned} \frac{d^2N_{\pi^+}}{dp dt} (p, t) &= M \cdot S(p) \cdot \mathcal{E}(p, t) \cdot \Gamma_{S+}^2 [|\rho(p)|^2 e^{-\Gamma_L t} + |\eta_+|^2 e^{-\Gamma_L t} + \\ &+ 2|\rho(p)| |\eta_+| e^{-\frac{\Gamma_L + \Gamma_K}{2} t} \cos(\Delta m t + \phi_\rho(p) - \phi_+)]. \end{aligned} \quad (3)$$

В этом выражении величины $\Gamma_L, \Gamma_s, \Delta m, |\eta_+|, \phi_+, \Gamma_{S+}$ известны из других экспериментов.

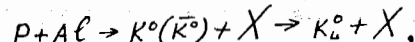
Величины $M, S(p)$ и $\mathcal{E}(p, t)$ могут быть определены независимо от $|\rho(p)|$ и $\phi_\rho(p)$ в том же эксперименте.

Таким образом, в выражении (13) неизвестными величинами остаются $|\rho(p)|$ и $\phi_\rho(p)$.

Исследование $f^*(p) - \bar{f}^*(p)$ позволяет проверить ряд теоретических моделей /8-13/. Используя известную связь между мнимой частью $f^*(p) - \bar{f}^*(p)$ и разностью полных сечений взаимодействий K^0 и \bar{K}^0 на ядрах мишени-регенератора, можно проверить выполнимость следствий, вытекающих из теоремы Померанчука /14/.

Независимое определение M и $S(p)$ от $|\rho(p)|$ и $\phi_\rho(p)$ (например, на основе трехчастичных распадов K_L^0 - мезонов) позволяет определить с высокой точностью модуль и фазу разности амплитуд.

С другой стороны, пучок K_L^0 - мезонов есть результат реакции



где X - сумма любых частиц, удовлетворяющих законам сохранения; т.е. эта реакция является одночастичным инклюзивным процессом. Следовательно, изучение спектра K_L^0 - мезонов дает возможность проверить, проявляется ли при достигнутых энергиях масштабная инвариантность для этих частиц.

Теоретические идеи и модальные представления о проявлении масштабной инвариантности в высокознергетичных адрон-адронных процессах получили хорошую экспериментальную основу в опытах на серпуховском ускорителе /15/. В этих опытах впервые было установлено, что отношение вероятности рождения K - мезонов и антiproтонов к вероятности рождения π - мезонов является функцией p/p_{max} , где p - импульс рожденной частицы, а p_{max} - его максимальное значение.

Для объяснения масштабной инвариантности Т.Бенеке, Т.Чу, С.Янг и Е.Лен /16/ предложили гипотезу предельной фрагментации. Согласно этой гипотезе в процессе взаимодействия налетающая частица и частица-мишень не теряют полностью свою индивидуальность, а только возбуждаются. Потом каждая из них распадается в своей системе координат. Продукты распада не зависят от природы другой частицы, и при стремлении квадрата полной энергии системы S к бесконечности распределения продуктов распада стремятся к предельным распределениям, не зависящим от S .

Р. Фейнман /17/ предложил партонную модель и гипотезу о масштабной инвариантности, которую он вывел из партонной модели с помощью качественных теоретических соображений. Он ввел новую переменную $x = 2q_z/\sqrt{S}$, где q_z - продольная составляющая импульса в системе центра масс. Согласно этой гипотезе при $S \rightarrow \infty$ инвариантное дифференциальное сечение рождения частицы с импульсом q зависит только от q_\perp и x :

$$\lim_{\substack{S \rightarrow \infty \\ x \text{ - фикс.}}} [f(S, q_z, q_\perp)] = f(x, q_\perp). \quad (4)$$

В области фрагментации, где $|x| \gg 2/m^2 + q_\perp^2/S$ (m - масса частицы с импульсом q), гипотеза предельной фрагментации полностью эквивалентна гипотезе масштабной инвариантности /18/.

В.А.Матвеев, Р.М.Мурадян и А.Н.Тавхелидзе /19/ на основе принципа автомодельности и обобщенного анализа размерностей тоже приходят к выводу, что при высоких энергиях в области фрагментации f является функцией только от x и q_\perp :

$$f = f(x, q_\perp).$$

Таким образом, с точки зрения асимптотического поведения функции f все эти теоретические гипотезы приводят к эквивалентным результатам.

На основании некоторых теоретических соображений /20,21/ принимается, что функцию f можно представить в виде

$$f(x, q_\perp) = A_1 \exp(-A_2 P_1^2 - A_3 x). \quad (5)$$

Если в заданной области энергии масштабная инвариантность выполняется, то аппроксимация инклузивных спектров частиц по формуле (5) не должна зависеть от энергии первичных частиц.

В диссертации наши данные о форме импульского спектра K^0 -мезонов, рожденных при энергии первичных протонов 70 ГэВ, сопоставляются с аналогичными данными для K^\pm -мезонов, полученными в работах /22,23/ при энергиях протонов 19,2 и 24 ГэВ.

Диссертация состоит из шести глав.

Первая глава - введение. Она содержит постановку задачи, краткое изложение сущности теоретических моделей о масштабной инвариантности (§ 1) и описание использования спектра и монитора при определении модуля и фазы разности амплитуд упругого рассеяния K^0 и \bar{K}^0 на протонах (§ 2).

Вторая глава посвящена общему описанию экспериментальной установки, работающей на линии с ЭВМ (§ 1), и программному обеспечению эксперимента (§ 2). В ней рассматривается работа магнитного искрового спектрометра в целом, а также устройство и работа его составных частей: магнита, искровых камер, систем сцинтилляционных счетчиков для запуска искровых камер, ионного и электронного детекторов. Описаны программы, предназначенные для контроля работы спектрометра, приема и записи полезной информации на ЭВМ, а также и программы обработки данных.

В третьей главе описан метод восстановления импульсного спектра.

Определяются виды спектров, которые используются в работе при обработке экспериментальных данных, определяются эффективности установки с помощью моделированных событий.

Далее в ней излагаются некоторые из существующих методов восстановления спектра K_L^0 - мезонов на основе их трехчастичных распадов, в том числе и метод, использованный в данной работе. Как известно, вычисление импульса K_L^0 - мезона по кинематическим параметрам его трехчастичных распадов, когда известны импульсы двух вторичных заряженных частиц и направление K_L^0 - мезона, приводит к двухзначному решению. Проблема заключается в нахождении распределения событий по истинным значениям импульсов K_L^0 -мезонов при условии, что для каждого индивидуального события неизвестно, какое из двух найденных значений импульса является истинным и какое - ложным. Эта задача решается статистическими методами. Использованный нами метод основан на работе^{/24/}.

Четвертая глава посвящена обработке экспериментальных данных.

В ней рассматривается процедура обработки и даются критерии отбора $K_{\mu 3}^0$ - событий. Даётся оценка примесей от других распадов. Показывается, что доля примесей невелика (~ 1%) и её при дальнейшем анализе можно было пренебречь. Этот факт иллюстрируется хорошим согласием в распределениях моделированных и экспериментально полученных $K_{\mu 3}^0$ - событий (рис.1). Строятся распределения экспериментальных и моделированных событий, необходимых для статистической обработки данных. Далее здесь рассматривается процедура обработки и даются критерии отбора $K_{3\pi}^0$ - событий.

Определяются геометрические эффективности детекторов мюонов и электронов.

Описывается процедура отделения КЭП распадов от фоновых и рассмотрен вопрос о возможном влиянии оставшихся фоновых событий на физический результат, а именно, на матричный элемент $K^0\Xi\bar{P}$ - распада.

Целесообразность определения матричного элемента $K^0\Xi\bar{P}$ - распада продиктована большим разбросом экспериментальных мировых данных. В диссертации используется линейное приближение для описания зависимости матричного элемента от кинетической энергии нейтрального pione в системе центра масс K_L^0 - мезона^{/25/}. Найдено, что параметр наклона B_c равен

$$B_c = -0,27 \pm 0,012.$$

В этой же главе описана процедура определения формы импульсного спектра K_L^0 - мезонов и монитора-полного числа K_L^0 - мезонов, прошедших через регенератор.

Пятая глава посвящена физическим результатам и их обсуждению.

Получены импульсный спектр и монитор K_L^0 - мезонов на основе анализа $K_{\mu 3}^0$ -распадов^{/27/}. Исследована их зависимость от матричного элемента $K_{\mu 3}^0$ - распада. Показано, что форма спектра устойчива к варьированию матричного элемента, а изменения величины монитора составляют одну статистическую ошибку, когда матричный элемент меняется в пределах, полученных в работе^{/26/} (табл. I).

Импульсный спектр и монитор получены также из анализа $K_{3\pi}^0$ - распадов^{/27/}. Исследована зависимость спектра и монитора от матричного элемента $K_{3\pi}^0$ - распада. При варьировании матричного элемента в пределах, соответствующих основным мировым данным, форма спектра практически не меняется, а монитор меняется приблизительно на одну статистическую ошибку (табл. 2).

Хорошее совпадение формы спектров и значений мониторов, полученных из анализа $K_{\mu 3}^0$ -и $K_{3\pi}^0$ -распадов, дает возможность объединить эти результаты. На рис.2 показан спектр K_L^0 -мезонов, полученный совместно из $K_{\mu 3}^0$ -и $K_{3\pi}^0$ -распадов.

С целью сравнения наших результатов с результатами, полученными в работах /22,23/ при энергии первичных протонов 19,2 и 24 ГэВ, соответствующие спектры были аппроксимированы с помощью формулы (5). Полученные результаты приведены в табл.3.

Удовлетворительное совпадение полученных значений параметров A_2 и A_3 для трех указанных энергий определено говорят о проявлении масштабной инвариантности для K^0 -мезонов в исследуемой области энергий первичных протонов.

Исследована также зависимость модуля модифицированной разности амплитуд $F_{21}(p) = 2/\sqrt{f^0(p) - \bar{f}^0(p)}/K$ и фазы разности амплитуд $\varphi_{21}(p) = \arg(f^0(p) - \bar{f}^0(p))$ от монитора.

Зависимость $F_{21}(p)$ от монитора показана на рис.3 и в табл.4.

Зависимости фазы $\varphi_{21}(p)$ и общей для всех импульсов фазы φ_{21} от монитора приведены в табл.5 и на рис.4 и 5.

ОСНОВНЫЕ РЕЗУЛЬТАТЫ

Полученные в диссертации результаты можно разделить на две группы: методические и физические.

Методические результаты

Был создан ряд программы для обеспечения экспериментов на линии с ЭВМ; это программа контроля работы счётчиков в ходе накопления экспериментальных данных FGM ; программа построения

кривых задержанных совпадений для гаммоскопических мюонных счётчиков; программа построения амплитудного спектра частиц, зарегистрированных детектором электронов $KOD-S$, и программа контроля работы установки в режиме набора статистики.

Эти программы позволили использовать более полно ЭВМ в процессе наладки и подготовки установки к проведению на ускорителе ИФВЭ сеансов по набору первичных данных, а также контролировать нормальную работу аппаратуры во время проведения этих сеансов. В результате эффективность использования времени на ускорителе по набору статистики достигала 80%.

Физические результаты

1. Впервые получен импульсный спектр K_L^0 -мезонов в интервале 14–50 ГэВ/с при энергии первичных протонов 70 ГэВ. Хорошая статистическая обеспеченность и доказанное отсутствие существенных систематических отклонений дали возможность использовать этот спектр как для изучения регенерации K_L^0 - K_S^0 -мезонов и трехчастичных распадов K_L^0 -мезонов, так и для проверки масштабной инвариантности при достигнутых энергиях. Имея в виду отсутствие в настоящее время данных по спектрам K_L^0 -мезонов, полученных на экспериментальном материале, соизмеримом с нашим, можно ожидать, что этот спектр будет полезен в будущем, когда такие данные появятся.

2. На основе этого спектра и данных из других работ получено экспериментальное подтверждение выполнимости гипотезы масштабной инвариантности для К-мезонов в интервале энергий первичных протонов от 19,2 до 70 ГэВ.

3. Полученный по $K_{\mu 3}^0$ - и $K_{3\pi}^0$ - распадам монитор позволил определить с хорошей точностью модуль амплитуды регенерации $F_{21}(p) = 2/f(p) - \bar{f}(p)/k$ и фазу регенерации

$$\varphi_{21}(p) = \arg(f(p) - \bar{f}(p)) / 2.$$

a) Показано, что знание монитора позволило уменьшить примерно в 2,5+3 раза ошибки при определении фазы и модуля амплитуды регенерации K^0 - мезонов на протонах.

b) Показано, что те небольшие различия в абсолютных величинах разности полных сечений K^0 и \bar{K}^0 - мезонов, которые существуют между нашими данными /2/ и данными серпуховских работ /59, 60/, выполненных с заряженными каонами, не могут быть объяснены погрешностями в определении монитора.

4. Из метода определения модуля и фазы амплитуды трансмиссионной регенерации каонов видно, что знание формы спектра в этом случае является очень существенным. Форма спектра входит в выражение (42) как в явном виде в качестве $S(p)$, так и в неявном виде через $E(p, t)$. Поэтому нахождение формы спектра K^0 - мезонов высоких энергий и его использование в опытах по регенерации K^0 - мезонов /2/ было одним из решающих факторов для получения физических результатов - абсолютных величин фазы и модуля амплитуды трансмиссионной регенерации каонов на протонах в интервале энергий 14-50 ГэВ, а также в последующих аналогичных экспериментах по регенерации K^0 - мезонов на дейтерии и углероде.

Основные результаты диссертации были представлены на Международной конференции по элементарным частицам в Амстердаме (1971 г.), на международных конференциях по физике высоких

энергий в Батавии (1972 г.) и в Лондоне (1974 г.), а также опубликованы в работах / 1, 2, 26, 27/.

Рис.1. Распределения $K_{\mu 3}^0$ - распадов по величине E_5 . E_5 есть энергия распавшегося каона в системе отсчёта, где продольная составляющая суммарного импульса двух заряженных частиц равна нулю.

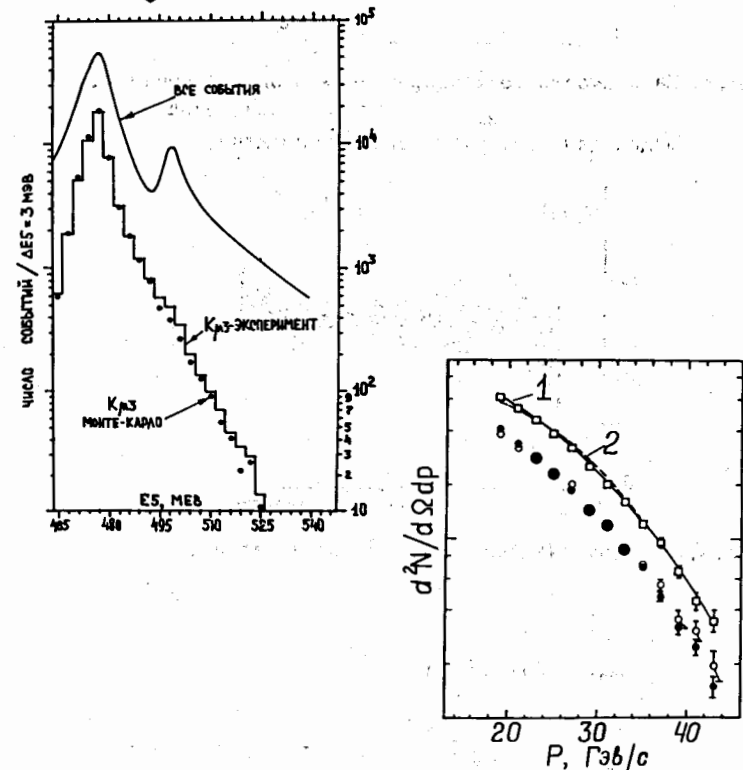


Рис.2. Спектр K_L^0 - мезонов, полученный по распадам $K_{\mu 3}^0$ (•) и $K_{3\pi}^0$ (○), и объединенный спектр □. Линия 2 - аппроксимация объединенного спектра по формуле (5).

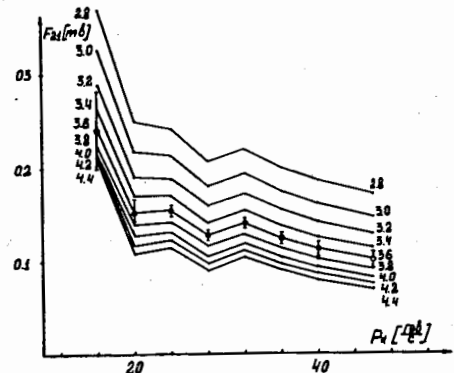


Рис.3. Зависимость модифицированной разности амплитуд $F_{21}(P)$ от монитора. Фаза общая для всех импульсных интервалов.

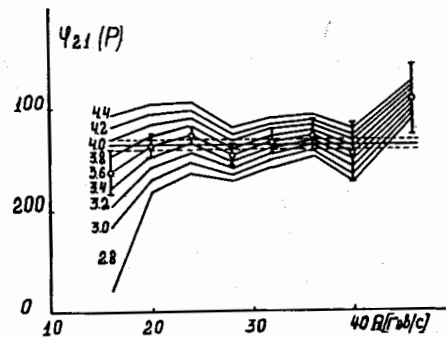


Рис.4. Зависимость фазы $\phi_{21}(P)$ от монитора.

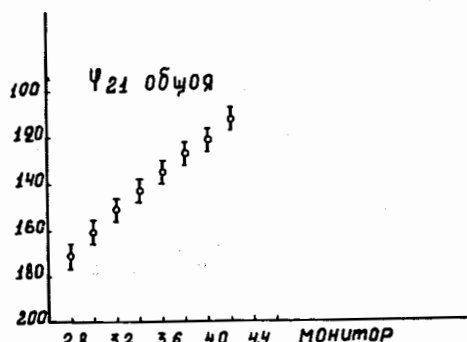


Рис.5. Зависимость общей фазы ϕ_{21} от монитора.

Таблица 1

Зависимость формы импульсного спектра K_L^0 -mesонов и монитора от параметров λ_+ , λ_0 и $\beta_0 = +I$

$P K^0$ (ГэВ/с)	$\lambda_+ = + 0,046$ $\lambda_0 = + 0,024$	$\lambda_+ = + 0,035$ $\lambda_0 = + 0,031$
I4-I6	I26, I \pm 10, I	I25,6 \pm 10,0
I6-I8	I26,6 \pm 6,9	I26,2 \pm 6,8
I8-20	I08,3 \pm 5,4	I08,6 \pm 5,4
20-22	95, I \pm 4,5	95,4 \pm 4,5
22-24	79,6 \pm 3,7	79,9 \pm 3,8
24-26	66,0 \pm 3,1	66,2 \pm 3,1
26-28	55, I \pm 2,6	55,3 \pm 2,6
28-30	43,6 \pm 2,1	43,7 \pm 2,1
30-32	34, I \pm 1,7	34, I \pm 1,7
32-34	27, I \pm 1,4	27,2 \pm 1,4
34-36	20,8 \pm 1,1	20,8 \pm 1,1
36-38	I6,2 \pm 0,8	I6,2 \pm 0,9
38-40	II,2 \pm 0,7	II,2 \pm 0,7
40-42	7,7 \pm 0,5	7,7 \pm 0,5
42-44	6, I \pm 0,5	6, I \pm 0,5
44-46	3,7 \pm 0,5	3,7 \pm 0,5
46-48	2,6 \pm 0,4	2,6 \pm 0,4
48-50	2,3 \pm 0,5	2,3 \pm 0,5
Монитор/ 10^6	$2379,5 \pm 40$	$2429,0 \pm 40$

Таблица 2

Зависимость формы импульсного спектра K^0 -мезонов и монитора от матричного элемента $K_{\text{ЭП}}^0$ - распада и от примеси фоновых событий. А - без вычитания фоновых событий, В - после вычитания $K_{\text{МЗ}}^0$ -событий, С - после вычитания $K_{\text{МЗ}}^0 - K_{\text{ЕЗ}}^0$ - событий, Д - после вычитания всех фоновых событий

P_{K^0} (ГэВ/с)	Д				$\delta_0 = -0.27$		
	$\delta_0 = -0.25$	$\delta_0 = -0.27$	$\delta_0 = -0.29$	$\delta_0 = -0.31$	A	B	C
I8-20	204.6 ± 22.0	203.4 ± 22.0	202.3 ± 21.8	201.2 ± 21.7	172.0 ± 19.3	188.8 ± 20.6	195.5 ± 21.3
20-22	151.4 ± 11.4	151.0 ± 11.4	150.5 ± 11.3	150.1 ± 11.3	147.0 ± 10.8	149.0 ± 11.7	150.1 ± 11.2
22-24	141.7 ± 8.7	141.7 ± 8.7	141.6 ± 8.7	141.6 ± 8.7	134.9 ± 8.2	138.5 ± 8.5	140.2 ± 8.6
24-26	113.1 ± 6.4	113.4 ± 6.4	113.8 ± 6.4	114.2 ± 6.4	114.2 ± 6.4	119.3 ± 6.5	115.0 ± 6.4
26-28	100.4 ± 5.4	100.8 ± 5.4	101.1 ± 5.4	101.5 ± 5.4	108.2 ± 5.6	105.7 ± 5.6	102.7 ± 5.5
28-30	74.5 ± 4.1	74.6 ± 4.1	74.8 ± 4.1	75.0 ± 4.1	79.9 ± 4.3	76.6 ± 4.2	76.0 ± 4.2
30-32	61.4 ± 3.5	61.5 ± 3.5	61.6 ± 3.5	61.7 ± 3.5	63.2 ± 3.5	62.1 ± 3.5	61.8 ± 3.5
32-34	46.9 ± 2.9	46.9 ± 2.9	46.9 ± 2.9	46.9 ± 2.9	47.5 ± 2.9	46.6 ± 2.9	47.0 ± 2.9
34-36	35.0 ± 2.5	35.0 ± 2.5	35.1 ± 2.5	35.1 ± 2.5	38.0 ± 2.5	36.8 ± 2.5	35.8 ± 2.5
36-38	28.2 ± 2.3	28.3 ± 2.3	28.3 ± 2.3	28.4 ± 2.3	29.9 ± 2.3	28.9 ± 2.3	28.7 ± 2.3
38-40	17.7 ± 2.1	17.8 ± 2.1	18.0 ± 2.1	18.1 ± 2.1	23.2 ± 2.2	21.0 ± 2.2	19.1 ± 2.1
40-42	15.7 ± 2.1	15.9 ± 2.1	16.1 ± 2.1	16.3 ± 2.1	20.7 ± 2.2	17.6 ± 2.2	17.1 ± 2.1
42-44	9.5 ± 1.9	9.7 ± 1.9	9.8 ± 1.9	10.0 ± 1.9	16.1 ± 2.1	13.5 ± 2.0	11.2 ± 2.0
Монитор I_0^6	1552 ± 43	1507 ± 43	1464 ± 42	1421 ± 40	1857 ± 49	1649 ± 45	1577 ± 44

Таблица 3

Параметры A2 и A3, полученные при аппроксимации экспериментальных данных с помощью формулы (5), для различных энергий первичных протонов

Пара- метры	19.2 ГэВ	24 ГэВ	70 ГэВ
$A2(19.2)^{-2}$	6.7 ± 0.2	7.0 ± 0.3	6.7 ± 0.2
$A3$	3.7 ± 0.2	3.0 ± 0.1	3.7 ± 0.1
χ^2/ν_F	1.58	2.08	1.16

Таблица 4

Зависимость модифицированной разности амплитуд $F_{21}(P) \times 10^2$
от монитора. Фаза φ_{21} - общая для всех импульсных интервалов

	Монитор в ед. 10^9						
	2,00	2,13	2,27	2,40	2,53	2,66	2,80
F_{21} (16)	32.7 ± 4.1	29.2 ± 4.1	26.4 ± 4.1	24.2 ± 4.2	22.6 ± 4.2	21.5 ± 4.3	20.9 ± 4.3
F_{21} (20)	21.9 ± 1.2	19.2 ± 1.1	17.2 ± 1.0	15.4 ± 1.0	14.0 ± 1.0	12.8 ± 1.0	11.8 ± 1.0
F_{21} (24)	21.5 ± 0.8	19.1 ± 0.7	17.2 ± 0.7	15.6 ± 0.6	14.3 ± 0.6	13.2 ± 0.6	12.3 ± 0.6
F_{21} (28)	18.2 ± 0.8	16.1 ± 0.6	14.3 ± 0.6	12.9 ± 0.5	10.6 ± 0.5	9.8 ± 0.4	9.1 ± 0.5
F_{21} (32)	19.5 ± 0.8	17.4 ± 0.6	15.6 ± 0.6	14.2 ± 0.5	13.0 ± 0.5	12.0 ± 0.4	11.2 ± 0.4
F_{21} (36)	17.6 ± 0.8	15.6 ± 0.7	13.9 ± 0.6	12.6 ± 0.6	11.5 ± 0.5	10.5 ± 0.5	9.7 ± 0.5
F_{21} (40)	16.3 ± 1.1	14.3 ± 1.0	12.7 ± 0.9	11.4 ± 0.8	10.3 ± 0.8	9.4 ± 0.7	8.7 ± 0.7
F_{21} (46)	14.9 ± 1.2	13.0 ± 1.1	11.5 ± 1.0	10.2 ± 0.9	9.2 ± 0.9	8.3 ± 0.8	7.6 ± 0.8
$\chi^2/80DF$	69.6	60.6	54.2	50.8	51.0	55.1	63.4

Таблица 5

Зависимость фазы $\varphi_{21}(p)$ от монитора

	Монитор, в ед. 10^9						
	2.00	2.13	2.27	2.40	2.53	2.66	2.80
φ_{21} - общая	160.5 ± 5.2	151 ± 5	143 ± 4.9	135 ± 4.9	127 ± 4.9	119 ± 4.9	112 ± 4.8
φ_{21} (16)	217 ± 18.8	196 ± 20	178 ± 21	162 ± 22	146 ± 21	131.5 ± 20	118 ± 18
φ_{21} (20)	169 ± 11.6	157 ± 11.5	146 ± 11.6	136 ± 11.8	126 ± 12	115 ± 12	105 ± 12
φ_{21} (24)	153 ± 9.8	144 ± 9.6	134 ± 9.4	126 ± 9.4	117 ± 9.3	109.6 ± 9.2	102 ± 9
φ_{21} (28)	165 ± 12	159 ± 11.4	152 ± 11	145 ± 11	139 ± 11.1	132 ± 11.2	125 ± 11.4
φ_{21} (32)	151 ± 13	144 ± 12.7	138 ± 12	132 ± 12	126 ± 11.8	120 ± 11.7	115 ± 11.6
φ_{21} (36)	141 ± 17	135 ± 16.4	131 ± 16	126 ± 16	121 ± 15.6	116 ± 15.5	111 ± 15.4
φ_{21} (40)	165 ± 37	157 ± 32.9	150 ± 30	143 ± 29	137 ± 27.9	131 ± 27.5	126 ± 27.5
φ_{21} (46)	105 ± 37	100 ± 36.5	95.3 ± 36	90.7 ± 35	86.1 ± 34.4	81.6 ± 33.7	77.2 ± 33
$\chi^2/80DF$	58.5	52.1	47.5	45.4	46.3	50.7	58.8

Л И Т Е Р А Т У Р А

1. В.К.Бирулев и др.. ОИЯИ, Р1-6164, Дубна (1971).
2. V.K.Birulev et al. JINR, E1-6851, Dubna (1972).
3. К.Ф.Альбрехт и др.. ОИЯИ, I-7427, Дубна (1973).
4. K.F.Albrecht et al., JINR, E1-7353, Dubna (1973).
5. V.L.Lyuboshitz et al. Preprint JINR,D-1926, Dubna(1965).
6. M.Bott-Bodenhausen et al., Phys.Lett., 20,212 (1966).
7. C.Alff-Steinberger et al.. Phys.Letters, 20,207 (1966).
8. M.Lusignoli et al. Nuovo Cim.,45A, 792 (1966) ;
Phys.Lett., 24B, 296 (1967).
9. И.Г.Азнауриан, Л.Д.Соловьев. ЯФ, I2,638 (1970).
10. М.Е.Вишневский и др. Препринт ИТЭФ № 815, 1970.
11. В.И.Лисин и др. Препринт ИТЭФ № 871, 1971.
12. V.Barger, R.Phillips. Phys.Lett., 33B, 425 (1970)
13. G.V.Pass et al., Nucl.Phys.B9,549 (1969).
14. Review of Particle Properties. Phys.Letters, 33B, 1(1970).
15. Д.Б.Бумкин и др. ЯФ, I0, 585 (1969).
16. T.Benecke et al., Phys.Rev., 188, 2159 (1969).
17. R.P.Feynman. Phys.Rev. Lett., 23, 1415 (1969).
18. Р.Мурадян, ОИЯИ, Р2-6762, Дубна (1972).
19. В.А.Матвеев и др. ОИЯИ, Р2-4543, Р2-4578, Р2-4824,
Дубна (1969).
20. A.H.Mueller, Phys.Rev.,D2, 2963 (1970).
21. Л.Ф.Соловьев, ИФВЭ, СЭФ, 7I-I08 (1971).
22. J.Allaby et al. CERN,70-12.
23. T.Eichten et al. Nucl.Phys.,B44, 333 (1972).
24. Г.Тахтамышев. ОИЯИ, 2543, Дубна (1966).
25. Basile et al. Phys.Lett.,28B, 58 (1968).
26. K.F.Albrecht et al. KFKI-73-46, Budapest.
27. Л.Вестергомби и др.. ОИЯИ, I-7739,Дубна (1974).

Рукопись поступила в издательский отдел
6 ноября 1974 года